

# Топология слоений Лиувилля трехмерных софокусных биллиардов с интегрируемым потенциалом четвертой степени<sup>1</sup>

Белозеров Г. В.<sup>2</sup>

**Аннотация.** Рассматриваются биллиарды внутри многомерных областей, ограниченных софокусными квадриками, с углами излома на границе, равными  $\pi/2$ . Согласно теореме Якоби-Шаля (о геодезических на квадриках) классические биллиарды внутри таких областей (т.е. в отсутствии внешних сил) являются интегрируемыми. В работе определены условия на потенциал  $V$ , при добавлении которого интегрируемость системы сохранится. Найден явный вид интегрируемого полиномиального потенциала четвертой степени. Для трехмерных биллиардов с таким потенциалом внутри эллипсоида, а также бесфокусных столов описано устройство слоения Лиувилля в окрестности слоев, отвечающих невырожденным особенностям.

**Ключевые слова:** биллиард, интегрируемый биллиард, слоение Лиувилля, топологические инварианты, атомы.

## §1 Описание системы. Условие интегрируемости

**1.1 Софокусные квадрики.** Рассмотрим в евклидовом  $\mathbb{R}^n(x_1, \dots, x_n)$  семейство софокусных квадрик

$$\frac{x_1^2}{a_1 - \lambda} + \dots + \frac{x_n^2}{a_n - \lambda} = 1. \quad (1)$$

Здесь  $a_1 > \dots > a_n$  — фиксированные числа, а  $\lambda$  — вещественный параметр. На рисунке 1 проиллюстрированы софокусные квадрики на плоскости и в трехмерном пространстве. Софокусное семейство обладает многими замечательными свойствами. Приведем несколько из них без доказательств.

- Софокусные квадрики ортогональны в точках пересечения.
- Через каждую точку  $\mathbb{R}^n$  проходит в точности  $n$  софокусных квадрик с учетом кратности. Если обозначить параметры этих квадрик через  $\lambda_1 \geq \dots \geq \lambda_n$ , то  $\lambda_1 \in [a_2, a_1], \lambda_2 \in [a_3, a_2], \dots, \lambda_n \in (-\infty, a_n]$ .

**Определение 1.** Координаты  $(\lambda_1, \dots, \lambda_n)$  называются *эллиптическими*.

**Замечание 1.** Эллиптические координаты были введены К. Якоби (см., например, [1]) при доказательстве интегрируемости геодезического потока на поверхности  $n$ -осного эллипсоида.

<sup>1</sup>Работа выполнена в МГУ им. М. В. Ломоносова при поддержке гранта РНФ № 22-71-10106.

<sup>2</sup>Московский Государственный университет имени М. В. Ломоносова, gleb0511beloz@yandex.ru

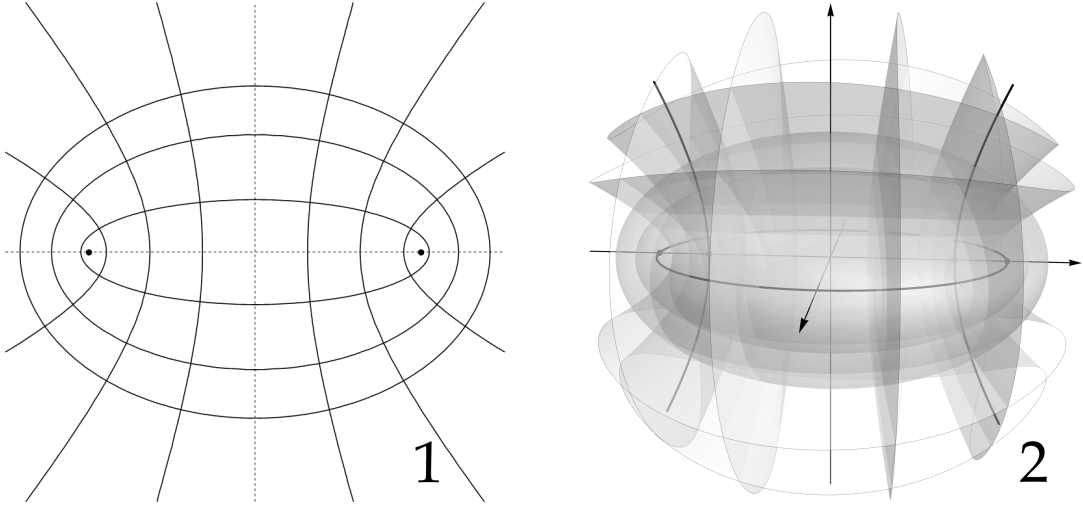


Рис. 1: Софокусные квадрики: 1 — на плоскости, 2 — в трехмерном пространстве.

Выведем несколько соотношений между эллиптическими и декартовыми координатами. Согласно определению  $\lambda_i$  являются корнями уравнения 1. Умножим его на  $\prod_{i=1}^n (\lambda - a_i)$  и перенесем слагаемые в одну сторону

$$\prod_{i=1}^n (\lambda - a_i) - \prod_{i \neq 1} (\lambda - a_i) x_1^2 - \cdots - \prod_{i \neq n} (\lambda - a_i) x_n^2 = 0$$

Согласно формулам Виета выражение слева равно  $(\lambda - \lambda_1) \dots (\lambda - \lambda_n)$ . Приравнивая соответствующие коэффициенты многочленов, заключаем

$$\begin{cases} x_1^2 + \cdots + x_n^2 = \sigma_1(a_1, \dots, a_n) - \sigma_1(\lambda_1, \dots, \lambda_n), \\ \sigma_1^1(a_1, \dots, a_n)x_1^2 + \cdots + \sigma_1^n(a_1, \dots, a_n)x_n^2 = \sigma_2(a_1, \dots, a_n) - \sigma_2(\lambda_1, \dots, \lambda_n), \\ \dots \dots \dots \\ \sigma_{n-1}^1(a_1, \dots, a_n)x_1^2 + \cdots + \sigma_{n-1}^n(a_1, \dots, a_n)x_n^2 = \sigma_n(a_1, \dots, a_n) - \sigma_n(\lambda_1, \dots, \lambda_n). \end{cases}$$

Здесь и далее через  $\sigma_k^{i_1 \dots i_p}(b_1, \dots, b_n)$  будем обозначать элементарный симметрический многочлен степени  $k$  от переменных  $\{b_1, \dots, b_n\} \setminus \{b_{i_1}, \dots, b_{i_p}\}$ . Предполагаем, что  $\sigma_{-1}^{i_1 \dots i_p} \equiv 0$ ,  $\sigma_0^{i_1 \dots i_p} \equiv 1$ . Более кратко последнюю систему можем переписать так:

$$\sum_{i=1}^n \sigma_{k-1}^i(a_1, \dots, a_n)x_i^2 = \sigma_k(a_1, \dots, a_n) - \sigma_k(\lambda_1, \dots, \lambda_n) \quad \forall k = 1, \dots, n. \quad (2)$$

Если рассмотреть эти уравнения как систему на  $x_1^2, \dots, x_n^2$  и решить ее, получим

$$x_k^2 = \frac{\prod_{i=1}^n (a_k - \lambda_i)}{\prod_{i \neq k} (a_k - a_i)} \quad \forall k = 1, \dots, n. \quad (3)$$

**1.2 Постановка задачи. Описание системы.** Рассмотрим в  $\mathbb{R}^n$  компактную область  $D$ , ограниченную конечным числом софокусных квадрик с двугранными углами излома границы, равными  $\pi/2$ . Такую область будем называть *софокусным биллиардным столом*. На рисунке 2 представлены примеры софокусных столов на плоскости и в пространстве.

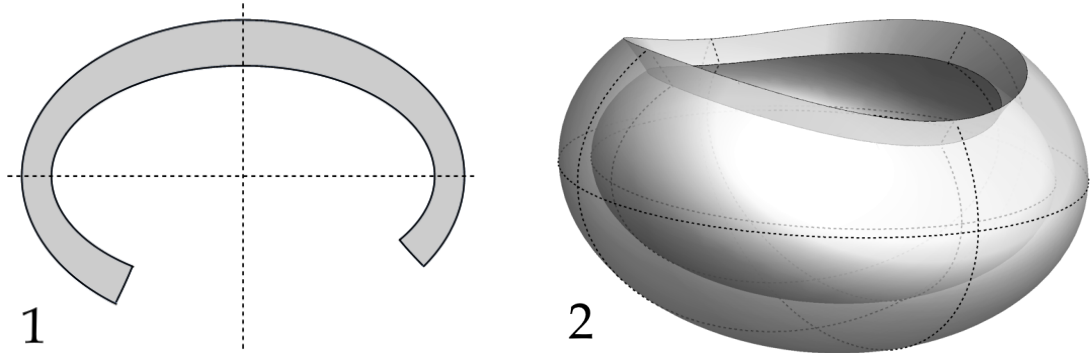


Рис. 2: Примеры софокусных столов: 1 — на плоскости, 2 — в трехмерном пространстве.

Пусть  $D$  — софокусный биллиардный стол, а  $V$  — функция, гладкая в окрестности стола  $D$ . Мы будем рассматривать следующую динамическую систему. Материальная точка единичной массы движется внутри  $D$  под действием потенциала  $V$ , отражаясь от границы  $D$  абсолютно упруго. Такую динамическую систему мы будем называть *софокусным биллиардом с потенциалом  $V$* .

**Замечание 2.** Приведенное выше описание системы не определяет динамику частицы в точках излома границы биллиардного стола. Однако ввиду того, что все двугранные углы излома равны  $\pi/2$  (а не  $3\pi/2$ ), движение частицы, попавшей на стык нескольких граней можно продолжить по непрерывности. Если частица пришла в точку  $P$  границы биллиардного стола с вектором скорости  $v$  и в этой точке смыкаются грани  $\gamma_1, \dots, \gamma_k$ , то она выйдет из точки  $P$  с вектором скорости  $v'$ , который получается из  $v$  последовательным отражением от  $\gamma_1, \dots, \gamma_k$ .

Фазовое пространство софокусного биллиарда является топологическим многообразием  $M^{2n} = \{(x, v) | x \in D, v \in T_x \mathbb{R}^3\} / \sim$ , где  $\sim$  — следующее отношение эквивалентности на границе биллиардного стола. Пары  $(x_1, v_1)$  и  $(x_2, v_2)$  эквивалентны в том и только том случае, когда  $x_1 = x_2 \in \partial D$ , а  $v_1$  получается из  $v_2$  путем нескольких отражений от гладких граней границы стола, смыкающихся в точке  $x$ .

**Замечание 3.** Тот факт, что  $M^{2n}$  является топологическим многообразием в случае  $n = 3$ , ранее был показан автором в работах [2, 3]. Для биллиардных книжек (обобщение софокусных биллиардов, введенное В. В. Ведюшкиной) аналогичный факт был доказан И. С. Харчевой в работе [4].

**Замечание 4.** Полная механическая энергия  $H = \frac{1}{2}(\dot{x}_1^2 + \dots + \dot{x}_n^2) + V$  является первым интегралом софокусного биллиарда.

**1.3 Интегрируемость. Условие на потенциал  $V$ .** Фазовое многообразие  $M^{2n}$ , как правило, является лишь кусочным-гладким. Разобьем его в объединение гладких “кусков”  $\widetilde{M}^{2n}$ . На  $\widetilde{M}^{2n}$  корректно определена стандартная симплектическая форма  $\omega$ , которая имеет непрерывные пределы “справа” и “слева” в точках излома  $M^{2n}$  (здесь под изломом подразумевается негладкость). Заметим, что на  $\widetilde{M}^{2n}$  динамика материальной точки определяется векторным полем  $v = \text{sgrad } H$ . Такого вида динамические системы называются *кусочно-гладкими гамильтоновыми системами*. Следующее определение было введено А. Т. Фоменко.

**Определение 2.** Говорят, что кусочно-гладкая гамильтонова система  $v = \text{sgrad } H$  является *интегрируемой по Лиувиллю в кусочно-гладком смысле*, если существуют непрерывные на  $M^{2n}$  и гладкие на  $\widetilde{M}^{2n}$  первые интегралы  $F_0 = H, \dots, F_{n-1}$ , такие, что

- 1)  $F_0, \dots, F_{n-1}$  функционально независимы на  $\widetilde{M}^{2n}$ ,
- 2)  $F_0, \dots, F_{n-1}$  попарно коммутируют относительно стандартной скобки Пуассона на  $\widetilde{M}^{2n}$ .

Согласно теореме Якоби-Шаля об интегрируемости геодезического потока на квадриках (см., например, [1]), а также наблюдению В. В. Козлова и Д. В. Трещева (см. [5]) произвольный софокусный биллиард в отсутствии внешних сил (т.е. при  $V = 0$ ) является интегрируемым по Лиувиллю в кусочно-гладком смысле. Более того, все звенья произвольной траектории-ломаной (или их продолжения) касаются  $n - 1$  общих софокусных квадрик. Параметры этих квадрик вместе с кинетической энергией образуют набор первых интегралов из определения 2. Напишем явные формулы первых интегралов этой задачи. Для этого рассмотрим движение материальной точки по инерции и найдем параметры софокусных квадрик семейства 1, которых касается ее траектория.

Пусть частица в некоторый момент времени  $t$  находилась в точке с координатами  $(x_1, \dots, x_n)$  и имела вектор скорости в этой точке, равный  $(\dot{x}_1, \dots, \dot{x}_n)$ . В таком случае траектория частицы есть прямая, заданная параметрически

$$(x_1 + \tau \dot{x}_1, \dots, x_n + \tau \dot{x}_n), \quad \tau \in \mathbb{R}.$$

Чтобы найти точки пересечения этой прямой с квадрикой параметра  $\mu$ , нужно решить следующее квадратное относительно параметра  $\tau$  уравнение:

$$\frac{(x_1 + \tau \dot{x}_1)^2}{a_1 - \mu} + \dots + \frac{(x_n + \tau \dot{x}_n)^2}{a_n - \mu} = 1.$$

Заметим, что прямая касается квадрики в том и только в том случае, когда дискриминант этого квадратного относительно  $\tau$  уравнения равен нулю. Это условие можно переписать следующим образом.

$$\begin{aligned} & \left( \frac{x_1 \dot{x}_1}{a_1 - \mu} + \dots + \frac{x_n \dot{x}_n}{a_n - \mu} \right)^2 = \\ & = \left( \frac{\dot{x}_1^2}{a_1 - \mu} + \dots + \frac{\dot{x}_n^2}{a_n - \mu} \right) \left( \frac{x_1^2}{a_1 - \mu} + \dots + \frac{x_n^2}{a_n - \mu} - 1 \right) \end{aligned}$$

Следовательно, чтобы найти квадрики, которых касается траектория материальной точки, нужно решить уравнение последнее относительно  $\mu$ .

Сперва преобразуем это уравнение: раскроем скобки в обеих частях этого равенства, перенесем все слагаемые в левую часть и упростим ее, выделив полные квадраты.

$$\frac{\dot{x}_1^2}{a_1 - \mu} + \dots + \frac{\dot{x}_n^2}{a_n - \mu} - \sum_{i < j} \frac{K_{i,j}^2}{(a_i - \mu)(a_j - \mu)} = 0$$

Здесь  $K_{i,j} = x_i \dot{x}_j - x_j \dot{x}_i$ . Домножим обе части этого уравнения на  $\prod_i (a_i - \mu)$ .

$$\sum_{k=1}^n \prod_{m \neq k} (a_m - \mu) \dot{x}_k^2 - \sum_{i < j} \prod_{m \neq i,j} (a_m - \mu) K_{i,j}^2 = 0$$

Полученное уравнение будем называть *уравнением касания*. Обозначим через  $I_m$  коэффициент при  $2 \cdot (-1)^{n-1-m} \mu^{n-m-1}$ . Получим следующие равенства.

$$I_m = \frac{1}{2} \sum_{k=1}^n \sigma_m^k(a_1, \dots, a_n) \dot{x}_k^2 - \frac{1}{2} \sum_{i < j} \sigma_{m-1}^{ij}(a_1, \dots, a_n) K_{i,j}^2 \quad (4)$$

Заметим, что  $I_0$  — кинетическая энергия. Поскольку все корни уравнения касания, а также его старший коэффициент является первыми интегралами софокусного биллиарда, система функций  $(I_0, \dots, I_{n-1})$  — набор первых интегралов из определения 2. Все эти функции являются квадратичными по скоростям.

Для софокусного биллиарда с потенциалом  $V$  будем искать первые интегралы в виде  $F_k = I_k + f_k$ , где  $f_k$  — функция зависящая лишь от пространственных переменных, а  $f_0 = V$ . В таком случае  $F_0$  будет совпадать с  $H$ . Наша цель — найти условие на функцию  $V$ , при выполнении которого можно найти интегралы  $F_k$  указанным способом. Такая задача для  $n = 2$  была решена В. В. Козловым в работе [6]. В этой статье он нашел дифференциальное уравнение на функцию  $V$ . Мы поступим аналогичным образом.

**Теорема 1.** *Функции  $F_k = I_k + f_k$ , где  $I_k$  — указанные выше квадратичные интегралы софокусного биллиарда без потенциала, а  $f_k$  — функции, зависящие от пространственных переменных, являются первыми интегралами софокусного*

билиарда с потенциалом  $V$  в том и только том случае, когда  $V$  удовлетворяет следующей системе уравнений в частных производных.

$$(a_j - a_i + x_i^2 - x_j^2) \frac{\partial^2 V}{\partial x_i \partial x_j} + 3 \left( x_i \frac{\partial V}{\partial x_j} - x_j \frac{\partial V}{\partial x_i} \right) + \\ + \left( \frac{\partial^2 V}{\partial x_j^2} - \frac{\partial^2 V}{\partial x_i^2} \right) x_i x_j + \sum_{l \neq i, j} x_l \left( x_i \frac{\partial^2 V}{\partial x_j \partial x_l} - x_j \frac{\partial^2 V}{\partial x_i \partial x_l} \right) = 0 \quad \forall i \neq j \quad (5)$$

Более того, если помимо энергии найдется хотя бы один первый интеграл вида  $I_k + f_k(x)$ , то найдутся и все остальные.

Перед тем как приступить к доказательству этой теоремы, докажем вспомогательную лемму.

**Лемма 1.** Если функция  $V$  удовлетворяет системе 5, то для любой тройки попарно различных индексов  $i, j, l$  выполнено равенство

$$(a_i - a_j)x_l \frac{\partial^2 V}{\partial x_i \partial x_j} + (a_j - a_l)x_i \frac{\partial^2 V}{\partial x_j \partial x_l} + (a_l - a_i)x_j \frac{\partial^2 V}{\partial x_l \partial x_i} = 0. \quad (6)$$

Доказательство леммы 1. Рассмотрим уравнения системы 5 для пар индексов  $(i, j), (j, l), (l, i)$ . Умножим уравнение для пары  $(i, j)$  на  $x_l$ , для пары  $(j, l)$  — на  $x_i$ , для пары  $(l, i)$  — на  $x_j$ , а затем сложим получившиеся равенства. В результате получится равенство 6.  $\square$

Теперь приступим к доказательству теоремы 1.

Доказательство. Поскольку  $F_i$  — первые интегралы рассматриваемой задачи,  $I_k$  — интегралы задачи без потенциала и  $f_k$  зависят лишь от пространственных переменных, получаем следующую цепочку равенств.

$$0 = \{F_k, F_0\} = \{I_k + f_k, I_0 + f_0\} = \{I_k, f_0\} + \{I_0, f_k\} \quad (7)$$

Выразим частные производные функции  $f_k$  из последнего равенства. Для этого вычислим частные производные  $I_k$  по  $\dot{x}_i$  (см. формулу 4). Переменные в симметрических многочленах писать не будем, предполагая, что все они зависят от  $a_1, \dots, a_n$ .

$$\frac{\partial I_k}{\partial x_i} = \sigma_k^i \dot{x}_i - \sum_{l \neq i} \sigma_{k-1}^{il} x_l (x_l \dot{x}_i - x_i \dot{x}_l)$$

С учетом этих формул уравнение 7 можно переписать следующим образом.

$$\frac{\partial f_k}{\partial x_i} \dot{x}_i = \frac{\partial V}{\partial x_i} \left( \sigma_k^i \dot{x}_i - \sum_{l \neq i} \sigma_{k-1}^{il} x_l (x_l \dot{x}_i - x_i \dot{x}_l) \right)$$

Приравнивая слагаемые при соответствующих  $\dot{x}_i$ , получим выражения для частных производных функций  $f_k$ .

$$\frac{\partial f_k}{\partial x_i} = \left( \sigma_k^i - \sum_{l \neq i} \sigma_{k-1}^{il} x_l^2 \right) \frac{\partial V}{\partial x_i} + \sum_{l \neq i} \sigma_{k-1}^{il} x_i x_l \frac{\partial V}{\partial x_l} \quad (8)$$

Совместность этой системы эквивалентна равенству смешанных производных. Получаем следующее условие на потенциал  $V$ .

$$\begin{aligned} & \frac{\partial}{\partial x_j} \left( \left( \sigma_k^i - \sum_{l \neq i} \sigma_{k-1}^{il} x_l^2 \right) \frac{\partial V}{\partial x_i} + \sum_{l \neq i} \sigma_{k-1}^{il} x_i x_l \frac{\partial V}{\partial x_l} \right) = \\ &= \frac{\partial}{\partial x_i} \left( \left( \sigma_k^j - \sum_{l \neq j} \sigma_{k-1}^{jl} x_l^2 \right) \frac{\partial V}{\partial x_j} + \sum_{l \neq j} \sigma_{k-1}^{jl} x_j x_l \frac{\partial V}{\partial x_l} \right) \end{aligned}$$

Упростим это уравнение. Для этого мы раскроем скобки и воспользуемся следующим довольно простым соотношением:  $\sigma_k^i - \sigma_k^j = (a_j - a_i)\sigma_{k-1}^{ij}$ .

$$\begin{aligned} & \sigma_{k-1}^{ij}(a_j - a_i - x_j^2 + x_i^2) \frac{\partial^2 V}{\partial x_i \partial x_j} + \\ &+ 3\sigma_{k-1}^{ij} \left( x_i \frac{\partial V}{\partial x_j} - x_j \frac{\partial V}{\partial x_i} \right) + \sigma_{k-1}^{ij} \left( \frac{\partial^2 V}{\partial x_j^2} - \frac{\partial^2 V}{\partial x_i^2} \right) x_i x_j + \\ &+ \sum_{l \neq i, j} \left( \sigma_{k-1}^{jl} x_l^2 \frac{\partial^2 V}{\partial x_i \partial x_j} - \sigma_{k-1}^{il} x_l^2 \frac{\partial^2 V}{\partial x_i \partial x_j} + \sigma_{k-1}^{il} x_i x_l \frac{\partial^2 V}{\partial x_l \partial x_j} - \sigma_{k-1}^{jl} x_j x_l \frac{\partial^2 V}{\partial x_l \partial x_i} \right) = 0 \end{aligned}$$

Разберемся с последним слагаемым. Заметим, что при  $k = 1$  получившаяся система уравнений — в точности система 5. Поэтому для существования интеграла  $F_1$  эта системы необходима и достаточна. Разберемся теперь с произвольным  $k$ . Для этого преобразуем последнее слагаемое. Добавим к нему сумму

$$\sum_{l \neq i, j} \sigma_{k-1}^{ij} x_l \left( x_j \frac{\partial^2 V}{\partial x_i \partial x_l} - x_i \frac{\partial^2 V}{\partial x_j \partial x_l} \right),$$

получим

$$\begin{aligned} & \sum_{l \neq i, j} x_l \left( (\sigma_{k-1}^{jl} - \sigma_{k-1}^{il}) x_l \frac{\partial^2 V}{\partial x_i \partial x_j} + (\sigma_{k-1}^{il} - \sigma_{k-1}^{ij}) x_i \frac{\partial^2 V}{\partial x_l \partial x_j} + (\sigma_{k-1}^{ij} - \sigma_{k-1}^{jl}) x_j \frac{\partial^2 V}{\partial x_l \partial x_i} \right) = \\ &= \sum_{l \neq i, j} \sigma_{k-1}^{ijl} x_l \left( (a_i - a_j) x_l \frac{\partial^2 V}{\partial x_i \partial x_j} + (a_j - a_l) x_i \frac{\partial^2 V}{\partial x_j \partial x_l} + (a_l - a_i) x_j \frac{\partial^2 V}{\partial x_l \partial x_i} \right). \end{aligned}$$

Теперь остается воспользоваться леммой 1, согласно которой вся эта сумма равна нулю. Таким образом, разделив на  $\sigma_{k-1}^{ij}$  условие совместности для  $f_k$  снова систему 5. Значит, она является необходимой и достаточной.

Остается заметить, что по сути система 5 является необходимым и достаточным условием существования интеграла  $F_1$ . Поэтому если  $F_1$  существует, то найдутся и  $F_2, \dots, F_{n-1}$ . Абсолютно аналогично можно показать, что условие существования интеграла  $F_k$  ( $k \geq 2$ ) эквивалентно системе 5. Следовательно, если  $F_k$  нашелся, то найдутся и остальные интегралы. Теорема 1 доказана.  $\square$

Приведем без доказательства еще одно важное утверждение, которое проверяется абсолютно теми же методами, которыми мы пользовались при доказательстве теоремы 1.

**Предложение 1.** *Если потенциал  $V$  удовлетворяет системе 5, то функции  $F_i$  коммутируют относительно стандартной скобки Пуассона.*

Отсюда следует, что *софокусные биллиарды с потенциалами, удовлетворяющими уравнениям 5, являются интегрируемыми по Лиувиллю в кусочно-гладком смысле.*

**Замечание 5.** На самом деле, в эллиптических координатах система 5 эквивалентна системе уравнений Эйлера-Пуассона-Дарбу.

## §2 Интегрируемые потенциалы четвертой степени

В настоящем параграфе мы опишем все полиномиальные потенциалы четвертой степени в  $\mathbb{R}^n$ , удовлетворяющие уравнениям 5, а также найдем явный вид первых интегралов  $F_k$  и запишем систему уравнений движения на поверхностях их совместного уровня.

Обозначим через  $\mathcal{L}_{ij}$  дифференциальный оператор, соответствующий левой части формулы 5 для пары индексов  $(i, j)$ . Заметим, что подпространства многочленов четной и нечетной степеней являются инвариантными для всех этих операторов. Поэтому, если  $V$  — полиномиальный потенциал,  $\mathcal{L}_{ij}V = 0$  и  $V = V_0 + V_1$  — разложение  $V$  в сумму многочлена  $V_0$  четной степени и нечетной  $V_1$ , то  $\mathcal{L}_{ij}V_0 = 0$  и  $\mathcal{L}_{ij}V_1 = 0$ .

**Теорема 2.** *Полином  $V$ , удовлетворяющий уравнениям 5, степени меньше либо равной 4 имеет следующий вид.*

$$V = p((x_1^2 + \dots + x_n^2)^2 - a_1x_1^2 - \dots - a_nx_n^2) + q(x_1^2 + \dots + x_n^2) + C \quad (9)$$

Здесь  $p, q, C$  — произвольные вещественные константы.

Доказательство. Разобьем доказательство на несколько шагов.

*Шаг 1.* Покажем, что  $V_1 = 0$ . В нашем случае  $V_1$  — сумма многочленов первой и третьей степеней. Для удобства индекс 1 внизу писать не будем.

Заметим, что если  $i, j, l$  — три попарно различных индекса и коэффициент при  $x_l$  многочлена  $\mathcal{L}_{ij}V$  отличен от нуля, то коэффициент при  $x_i x_j x_l$  в многочлене  $V$

тоже не равен нулю. Поэтому в  $V$  мономы вида  $x_i x_j x_l$  отсутствуют. Обозначим через  $c_{ij}$  коэффициент при  $x_i^2 x_j$ , через  $\alpha_i$  — при  $x_i$ , а через  $\beta_i$  — при  $x_i^3$ .

Коэффициент при  $x_i^3$  многочлена  $\mathcal{L}_{ij}V$  равен  $5c_{ij}$ , поэтому, если  $\mathcal{L}_{ij}V = 0$ , то  $c_{ij} = 0$ . Теперь заметим, что  $\mathcal{L}_{ij}V = \alpha_j x_i - \alpha_i x_j + \dots$  (здесь многоточием обозначены слагаемые более высокого порядка). Следовательно, если все  $\alpha_i = 0$ .

Значит,  $V = \beta_1 x_1^3 + \dots + \beta_n x_n^3$ . Покажем, что все  $\beta_i = 0$ . Действительно, посмотрим на коэффициент при  $x_i^2 x_j$  многочлена  $\mathcal{L}_{ij}V$ . Он равен  $3\beta_i$ . Поэтому, если  $\mathcal{L}_{ij}V$ , то все  $\beta_i = 0$ , т.е.  $V_1 = 0$ .

*Шаг 2.* Итак, согласно первому шагу  $V = V_0$ . Сперва заметим, что все константы автоматически удовлетворяют уравнению 5. Коэффициенты при мономах  $x_i x_j$  равны нулю, поскольку  $\mathcal{L}_{ij}x_i x_j = a_j - a_i \neq 0$ . Значит, квадратичная часть многочлена  $V$  имеет вид  $\alpha_1 x_1^2 + \dots + \alpha_n x_n^2$ . Обозначим ее через  $V^{(2)}$ . Имеем:  $\mathcal{L}_{ij}V^{(2)} = 6(\alpha_j - \alpha_i)x_i x_j$ . Следовательно, коэффициенты  $V$  при мономах вида  $x_i^3 x_j$ ,  $x_i^2 x_j x_l$ ,  $x_i x_j x_k x_l$  равны нулю. Значит, многочлен  $V$  имеет следующий вид.

$$V = \sum_{i=1}^n \beta_i x_i^4 + \sum_{i < j} c_{ij} x_i^2 x_j^2 + \sum_{i=1}^n \alpha_i x_i^2 + C$$

Найдем соотношения на константы. Коэффициент при  $x_i x_j$  многочлена  $\mathcal{L}_{ij}V$  равен  $4(a_j - a_i)c_{ij} + 8(\alpha_j - \alpha_i)$ . Отсюда находим, что  $c_{ij} = \frac{2(\alpha_i - \alpha_j)}{a_j - a_i}$ . Теперь вычислим коэффициент при  $x_i^3 x_j$  у  $\mathcal{L}_{ij}V$ . Он равен  $4c_{ij} + 6c_{ij} - 12\beta_i + 2c_{ij} - 12\beta_i$ , отсюда  $c_{ij} = 2\beta_i$ . Значит, все  $\beta_i$  равны между собой. Обозначим это число через  $p$ . В таком случае все  $c_{ij}$  совпадают и равны  $2p$ . При этом,  $\frac{\alpha_i - \alpha_j}{a_j - a_i} = p$ . Положим  $\alpha_1 = -pa_1 + q$ . Отсюда заключаем, что  $\alpha_i = -pa_i + q$  для всех  $i$ . Таким образом,

$$V = p((x_1^2 + \dots + x_n^2)^2 - a_1 x_1^2 - \dots - a_n x_n^2) + q(x_1^2 + \dots + x_n^2) + C.$$

Нетрудной проверкой легко убедиться, что полином  $V$  найденного вида удовлетворяет системе уравнений 5.  $\square$

Теперь, используя формулы 8, найдем функции  $f_k$  и тем самым определим первые интегралы для биллиарда с потенциалом вида 9. Напомним, что  $f_0 = V$ . Имеем:

$$\frac{\partial f_k}{\partial x_i} = 2p \sum_{l \neq i} (\sigma_k^i + \sigma_k^l) x_i x_l^2 + 4p\sigma_k^i x_i^3 - 2p\sigma_k^i x_i a_i + 2q\sigma_k^i x_i,$$

откуда

$$f_k = p \sum_i \sigma_k^i x_i^2 \sum_l x_l^2 - p \sum_i \sigma_k^i a_i x_i^2 + q \sum_i \sigma_k^i x_i^2. \quad (10)$$

Найдем явный вид уравнений движения системы на совместном уровне первых интегралов  $F_0, \dots, F_n$ . Сделаем это (следуя Якоби) в эллиптических координатах. Согласно формулам замены 2

$$f_k = -p\sigma_{k+1}(\lambda)(\sigma_1(a) - \sigma_1(\lambda)) + p(\sigma_{k+2}(a) - \sigma_{k+2}(\lambda)) + q(\sigma_{k+1}(a) - \sigma_{k+1}(\lambda)). \quad (11)$$

Здесь через  $\lambda$  обозначен набор  $\lambda_1, \dots, \lambda_n$ , а через  $a$  — набор  $a_1, \dots, a_n$ . Считаем, что  $\sigma_{n+1} \equiv 0$ . Напомним, что в эллиптических координатах  $\lambda_1, \dots, \lambda_n$  и сопряженных им импульсах  $p_1, \dots, p_n$  функции  $I_k$  записываются так.

$$I_k = 2 \sum_{j=1}^n \sigma_k^j(\lambda_1, \dots, \lambda_n) A_j p_j^2, \quad \text{где } A_j = \frac{\prod_{\substack{i=1 \\ i \neq j}}^n (a_k - \lambda_i)}{\prod_{i \neq j} (\lambda_k - \lambda_i)} \quad (12)$$

**Теорема 3.** На совместном уровне первых интегралов  $F_0 = g_0, \dots, F_{n-1} = g_{n-1}$  уравнения движения биллиарда с потенциалом вида 8 имеют следующий вид.

$$\dot{\lambda}_i = \pm \frac{2\sqrt{2}}{\prod_{j \neq i} (\lambda_j - \lambda_i)} \sqrt{V(\lambda_i)}, \quad (13)$$

$$\varepsilon \partial_e V(z) = \prod_{k=1}^n (a_k - z) \left( (pz - q) \prod_{k=1}^n (a_k - z) + (-1)^{n-1} \sum_{i=0}^{n-1} (-1)^i g_i z^{n-1-i} \right).$$

Доказательство. Упростим выражение  $\sum_{k=0}^{n-1} (-1)^k F_k \lambda_m^{n-1-k}$  для всех  $m = 1, \dots, n$ .

Для этого разобьем эту сумму на два слагаемых:  $\sum_{k=0}^{n-1} (-1)^k I_k \lambda_m^{n-1-k}$ ,  $\sum_{k=0}^{n-1} (-1)^k f_k \lambda_m^{n-1-k}$ , и преобразуем каждое из них. Начнем с первого. Согласно формулам 12 имеем.

$$\sum_{k=0}^{n-1} (-1)^k I_k \lambda_m^{n-1-k} = 2 \sum_{k=0}^{n-1} \sum_{j=1}^n \sigma_k^j(\lambda_1, \dots, \lambda_n) A_j p_j^2 (-1)^k \lambda_m^{n-1-k} =$$

Поменяем местами знаки суммирования и применим теорему Виета.

$$\begin{aligned} &= 2 \sum_{j=1}^n \left( \sum_{k=0}^{n-1} \sigma_k^j(\lambda_1, \dots, \lambda_n) (-1)^k \lambda_m^{n-1-k} \right) A_j p_j^2 = \\ &= 2 \sum_{j=1}^n \prod_{k \neq j} (\lambda_m - \lambda_k) A_j p_j^2 = 2(-1)^{n-1} p_m^2 \prod_{k=1}^n (a_k - \lambda_m) \end{aligned}$$

Теперь упростим второе слагаемое. Для этого воспользуемся явным видом функций  $f_k$  в эллиптических координатах (см. 11) и разобьем его на несколько элементарных сумм, каждую из которых вычислим в явном виде.

1.  $\sum_{k=0}^{n-1} \lambda_m^{n-1-k} (-1)^k \sigma_{k+1}(\lambda) = - \sum_{j=1}^n \lambda_m^{n-j} (-1)^j \sigma_j(\lambda) = - \prod_j (\lambda_m - \lambda_j) + \lambda_m^n = \lambda_m^n$
2.  $\sum_{k=0}^{n-1} \lambda_m^{n-1-k} (-1)^k (\sigma_{k+1}(a) - \sigma_{k+1}(\lambda)) = - \prod_{k=1}^n (\lambda_m - a_k)$
3.  $\sum_{k=0}^{n-1} \lambda_m^{n-1-k} (-1)^k (\sigma_{k+2}(a) - \sigma_{k+2}(\lambda)) = \lambda_m \prod_{k=1}^n (\lambda_m - a_k) + \lambda_m^n (\sigma_1(a) - \sigma_1(\lambda))$

В итоге получаем, что  $\sum_{k=0}^{n-1} (-1)^k f_k \lambda_m^{n-1-k} = (p\lambda_m - q) \prod_{k=1}^n (\lambda_m - a_k)$ . Значит, на поверхности совместного уровня первых интегралов  $F_i$  выполнены равенства

$$\sum_{k=0}^{n-1} (-1)^k g_k \lambda_k^{n-1-k} = 2(-1)^{n-1} p_m \prod_{k=1}^n (a_k - \lambda_m) + (p\lambda_m - q) \prod_{k=1}^n (\lambda_m - a_k).$$

Из последнего равенства выразим квадрат импульса. Далее воспользуемся уравнениям Гамильтона и выразим импульс  $p_m$  из них. Приравняем эти выражения. Получим требуемые формулы. Теорема доказана.  $\square$

В последующих параграфах, основываясь на теореме 3, мы опишем топологию слоения Лиувилля вблизи невырожденных особенностей биллиарда внутри эллипсоида с интегрируемым потенциалом степени 4.

### §3 Два-атомы и их симметрии

Для описания слоения Лиувилля рассматриваемой биллиардной системы нам необходимо напомнить понятие 2-атома, привести простые примеры, а также указать некоторые симметрии атомов, которые понадобятся в дальнейшем. Подробная информация о 2-атомах и их свойствах изложена в работе [9].

Рассмотрим на компактном ориентируемом многообразии  $M^2$  функцию Морса  $f$ . Напомним, что

**Определение 3.** Гладкая функция  $f$  на многообразии  $N^n$  называется *функцией Морса*, если все ее критические точки являются невырожденными, т.е. если  $df|_x = 0$ , то  $d^2f|_x$  имеет полный ранг (равен  $n$ ).

Функция Морса на компактном многообразии обладает лишь конечным количеством критических точек. При этом, согласно лемме Морса в окрестности критической точки на  $M^2$  подходящим выбором криволинейных координат функция  $H$  приводится к виду  $H = H_0 \pm x^2 \pm y^2$  (см., например, [10]). Однако лемма Морса дает лишь локальное представление функции в окрестности невырожденной точки. Глобальное устройство функции Морса в окрестности критического слоя однозначно описывается 2-атомом. Напомним его определение.

**Определение 4.** Пусть  $f$  — функция Морса на двумерном компактном многообразии  $M^2$  и  $c$  — ее критическое значение. Предположим также, что  $c$  — единственное критическое значение функции  $f$  на отрезке  $[c - \varepsilon, c + \varepsilon]$ . Тогда связную компоненту  $P^2$  множества  $f^{-1}([c - \varepsilon, c + \varepsilon])$ , расслоенную на линии уровня функции  $f$ , будем называть *2-атомом (двумерным атомом)*  $(P^2, f)$ .

Все 2-атомы рассматриваются с точностью до следующего отношения эквивалентности.

**Определение 5.** Будем называть 2-атомы  $(P_1^2, f_1)$  и  $(P_2^2, f_2)$  *эквивалентными*, если существует гомеоморфизм между  $P_1^2$  и  $P_2^2$ , переводящий функцию  $f_1$  в функцию  $f_2$ .

Приведем несколько примеров 2-атомов. Если точка  $x \in M^2$  является точкой минимума или точкой максимума функции  $H$ , то согласно лемме Морса, 2-атом, отвечающий этой особенности, представляет собой двумерный диск, расслоенный на концентрические окружности (см. рис. 3.1). Такой атом называется *2-атомом A*.

Двумерный атом, содержащий на критическом слое ровно одну особую точку и отвечающий перестройке из одной окружности в две через критический уровень, гомеоморфный “восьмерке”, называется *2-атомом B*. Он изображен на рисунке 3.2. На рисунках 3.3 и 3.4 проиллюстрированы 2-атомы  $C_2$  и  $D_1$  соответственно.

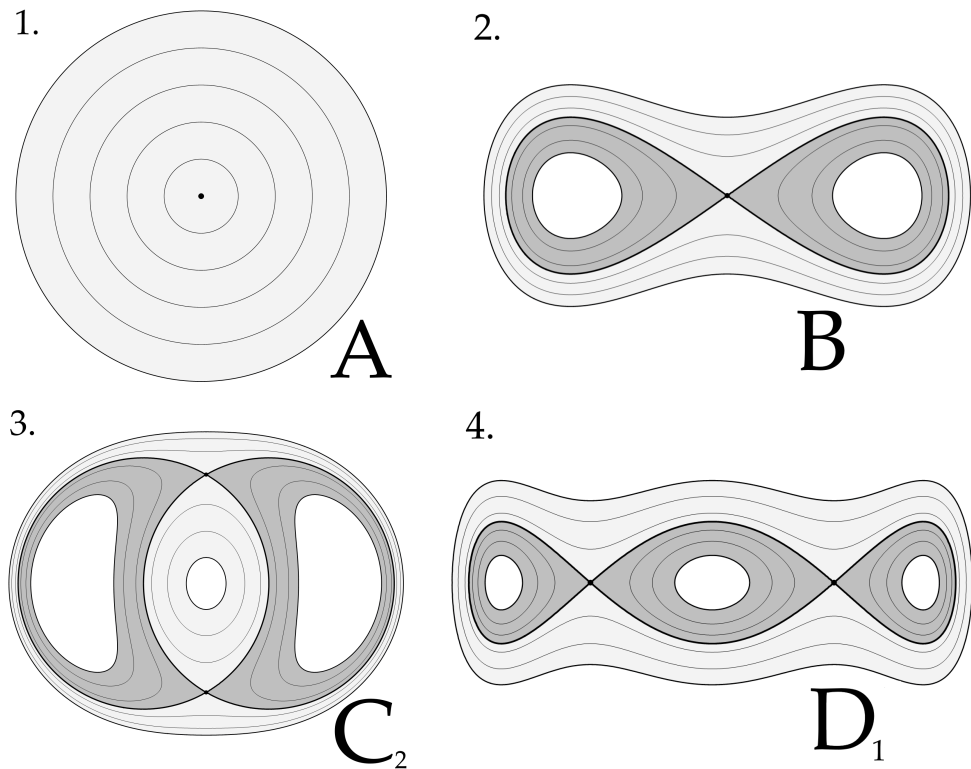


Рис. 3: Двумерные атомы  $A, B, C_2, D_1$  и их расслоения линиями уровня функции Морса  $f$ . На рисунках 2–4 черной жирной линией выделен критический уровень  $f = c$ , светло-серым и темно-серым цветами — области  $c < f \leq c + \varepsilon$  и  $c - \varepsilon \leq f < c$ .

Неформально напомним определения серий  $B$  и  $C$  два-атомов. Атомы  $B_n$  и  $C_n$  содержат  $n$  точек на критическом слое, однако  $B_n$  отвечает перестройке одной окружности в  $n + 1$  (эта перестройка для  $n = 1$  показана на рисунке 3.2, а для  $n = 2$  — на 3.4), а  $C_n$  — бифуркации двух окружностей в  $n$  (эта перестройка для  $n = 2$  указана на рисунке 3.3). Поэтому атом  $D_1$  в некоторых работах обозначают через  $B_2$ .

Заметим, что атом  $B$  является центрально симметричным. Эта инволюция атома  $B$  единственная нетривиальная. Атом  $C_2$ , изображенный на рисунке 3.3, тоже обладает центральной симметрией. Однако список нетривиальных симметрий этого атома шире. Для того чтобы увидеть другие инволюции, рассмотрим реализацию  $C_2$  на двумерной сфере (см. рис. 4). В такой реализации центральная симметрия с рисунка 3.3 перейдет в поворот  $\alpha$  на угол  $\pi$ . Видим, что атом на рисунке 4.2 инвариантен относительно аналогичного поворота  $\beta$  на  $\pi$  вокруг другой выделенной оси. Инволюции  $\alpha$  и  $\beta$  далее мы будем называть *вращательными симметриями*. На самом деле,  $\alpha, \beta$ , а также  $\alpha \circ \beta$  — полный список нетривиальных симметрий атома  $C_2$ . Аналогичными буквами обозначим вращательные симметрии атома  $C_4$ . Они изображены на рисунке 4.2.

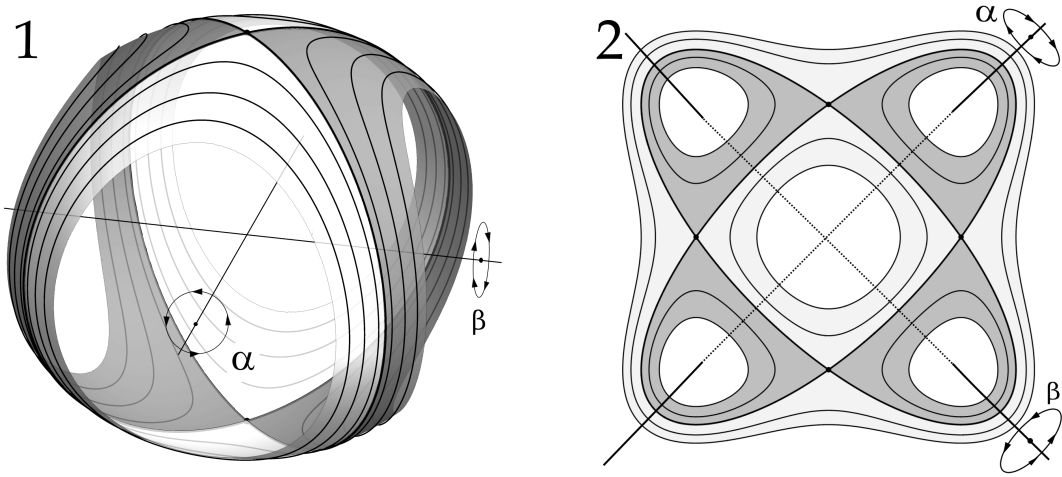


Рис. 4: 1. Сферическая реализация атома  $C_2$  и вращательные симметрии  $\alpha, \beta$ ; 2. Два-атом  $C_4$  и его вращательные симметрии  $\alpha, \beta$ .

#### §4 Слоение Лиувилля вблизи слоев с невырожденными особенностями

Топология слоения Лиувилля плоских биллиардов с интегрируемым полиномиальным потенциалом 4-й степени изучалась С. Е. Пустовойтовым в работах [7, 8]. Мы опишем полулокальное устройство слоения Лиувилля некоторых трехмерных софокусных биллиардов с интегрируемым потенциалом 4 степени вблизи слоев, отвечающих невырожденным особенностям. А именно, мы обсудим биллиард внутри трехосного эллипсоида, а также внутри столов, не содержащих участки фокальных кривых. Последние столы мы будем называть *бесфокусными*.

Поскольку нас интересует случай  $n = 3$ , мы введем следующие обозначения:  $a = a_1, b = a_2, c = a_3$ .

Для начала ответим на следующий вопрос. При каких условиях в слоении Лиувилля возникает бифуркация? Для этого обратимся к теореме 3. Многочлен  $V(z) = (a - z)(b - z)(c - z)((pz - q)(a - z)(b - z)(c - z) + g_0z^2 + g_1z + g_2)$  определяет устройство областей возможного движения. Действительно, чтобы точка  $P$

с эллиптическими координатами  $(\lambda_1, \lambda_2, \lambda_3)$  входила в состав области возможного движения, нужно, чтобы  $V(\lambda_i) = (a - \lambda_i)(b - \lambda_i)(c - \lambda_i) \geq 0$  при всех  $i$ . Поэтому чтобы описать область возможного движения (далее ОВД), необходимо знать знак константы  $p$ , а также корни  $W(z) = (pz - q)(a - z)(b - z)(c - z) + g_0z^2 + g_1z + g_2$ .

Следовательно, тип ОВД изменится в случае, когда корни  $V(z)$  изменят свое расположение. Перечислим возможные случаи.

1. Один из корней  $W(z)$  совпал с  $a, b$  или  $c$ .
2. Многочлен  $W(z)$  имеет кратный корень.

Есть еще один вариант смены области возможного движения, если один из корней  $W$  совпал с параметром квадрики границы стола. Однако этот случай нуждается в дополнительном пояснении, которое для краткости приводить не будем.

Итак, рассмотрим *отображение момента*  $\mathcal{F} : M^6 \rightarrow \mathbb{R}^3(F_0, F_1, F_2)$ . Точку  $P$  образа отображения момента будем называть *особой*, если она соответствует смене типа области возможного движения. Количество кратных корней многочлена  $W$ , отвечающего особой точке  $P$ , будем называть *кратностью* этой точки и обозначать  $N(P)$ . Оговоримся сразу, мы будем рассматривать только те особые точки, для которых многочлен  $W$  имеет корни кратности 2 и менее. Такие особые точки назовем *правильными*.

Как правило, кратность особой точки равна максимальному корангу системы дифференциалов  $dF_0, dF_1, dF_2$  по всем точкам соответствующего слоя. Это можно проверить аналитически. Правильность точки зачастую гарантирует невырожденность особых точек слоя. Наша цель — описать послойные прообразы малых окрестностей правильных особых точек.

**3.1 Бесфокусные столы.** У бесфокусных столов эллиптические координаты отделены друг от друга. Это позволяет в формулах разделения переменных избавиться от множителей  $\prod_{j \neq i} (\lambda_i - \lambda_j)$ , не меняя при этом топологию слоения Лиувилля.

Более того, перестройка одной пары корней  $V(z)$  будет влечь за собой изменение ОВД ровно по одной из эллиптических координат. При этом, влияния остальных корней не будет, следовательно, от них можно избавиться, убирая соответствующие множители в разложении  $W(z)$  на элементарные. Будем рассматривать только те правильные особые точки, которые по каждой эллиптической координате влекут не более одной перестройки. В таком случае, *прообраз малой окрестности правильной точки  $P$  будет послойно гомеоморен прямому произведению  $V_1 \times V_2 \times V_3$ , где  $V_i$  — 2-атом (или кольцо, разбитое на концентрические окружности), отвечающий перестройке системы по  $i$ -й эллиптической координате*. Более подробно о 2-атах см. [9].

Отметим, что все бесфокусные столы — прямые произведения трех одномерных софокусных столов. Под одномерным столом мы подразумеваем пересечение двух

софокусных квадрик в  $\mathbb{R}^3$ , либо же участок квадрики на плоскости. Т.е. дуга эллипса либо гиперболы, на которой введена эллиптическая координата.

Остается выяснить, какие 2-атомы  $V_i$  могут возникать. Разумеется,  $V_i$  может быть гомеоморфен 2-атому  $A$ . Однако нас в большей степени интересуют седловые атомы. Для того чтобы написать полный список искомых 2-атомов, нужно описать все возможные бифуркации на одномерных софокусных столах (т.е. дугах эллипсов и гипербол). Напомним, что мы рассматриваем бифуркации двух видов: когда  $W(z)$  имеет кратный корень или один из корней  $W(z)$  равен  $a, b$  или  $c$ . Посмотрим, какие перестройки происходят в каждом из случаев, когда в качестве одномерного стола выбран эллипс.

Начнем со случая, когда  $W(z)$  имеет на интервале  $(a_i, a_{i+1})$  имеет кратный корень. Тогда перестройка будет происходить по правилу, изображенному на рисунке 5. Четыре окружности преобразуются в две, и эта бифуркация, безусловно, отвечает 2-атому  $C_4$ .

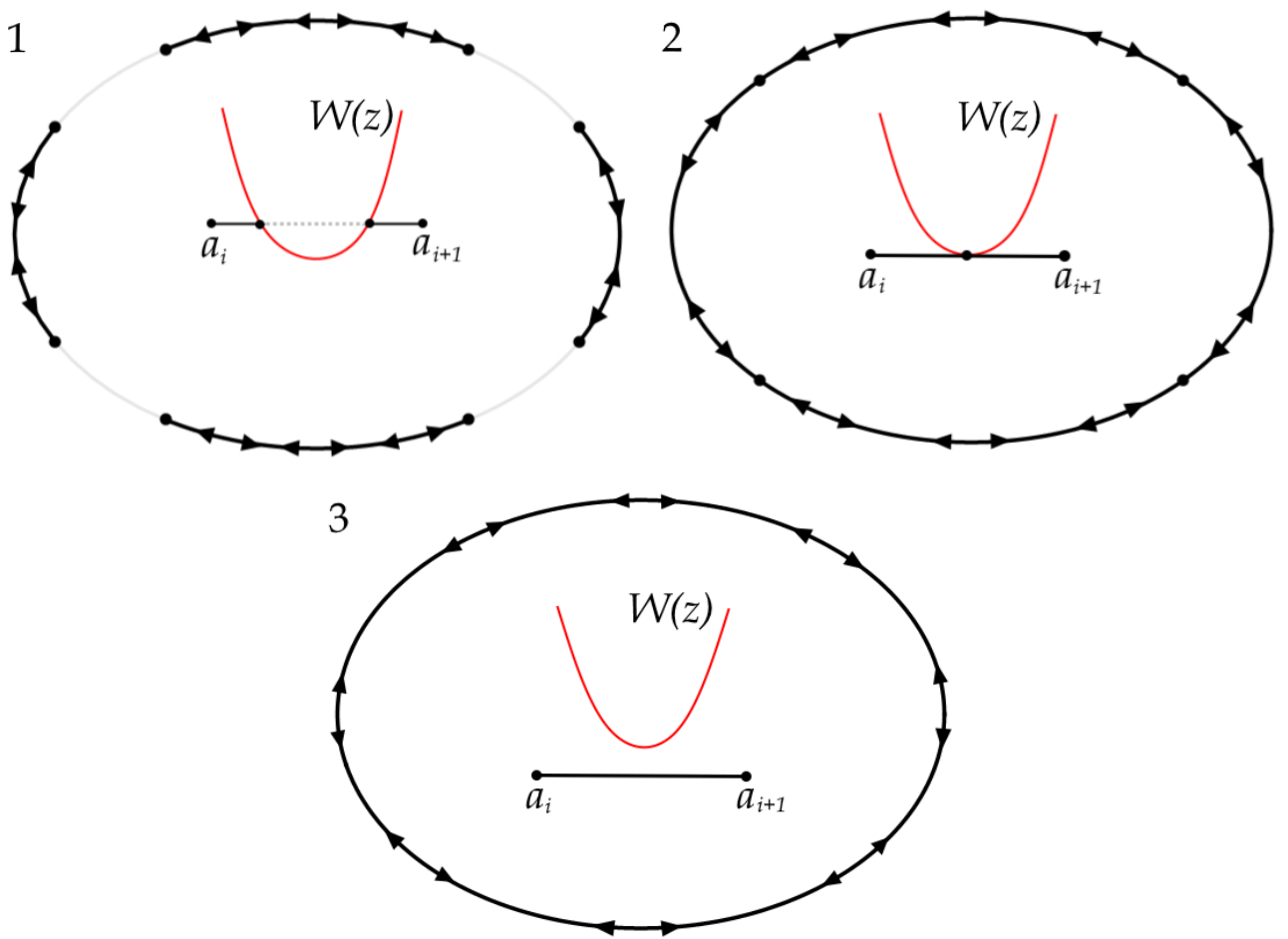


Рис. 5: Перестройка системы на эллипсе при условии возникновения кратного корня  $W(z)$ .

Если же один из корней  $W(z)$  совпадает с  $a_i$  или  $a_{i+1}$ , то нетрудно проверить что соответствующая перестройка отвечает 2-атому  $C_2$  (возникает аналогичная картина, только вместо четырех точек склейки окружностей остаются две).

Приведем теперь полный список седловых 2-атомов  $V_i$  которые будут появляться в аналогичных системах с многочленом  $W(z)$  на дугах эллипсов и гипербол. Получим  $C_2, C_4, B, B_2, B_3, B_4$ . В итоге нами доказана следующая теорема.

**Теорема 4.** *Пусть  $P$  – правильная особая точка образа отображения момента биллиарда внутри трехмерного бесфокусного стола с интегрируемым потенциалом вида 9. Тогда прообраз малой окрестности точки  $P$  послойно гомеоморфен одному или несвязному объединению нескольких прямых произведений вида  $V_1 \times V_2 \times V_3$ , где  $V_i$  – либо плоское кольцо, расслоенное на концентрические окружности, либо один из следующих 2-атомов:  $A, B, B_2, B_3, B_4, C_2, C_4$ .*

**Замечание 6.** В теореме 4 дополнительно предполагается, что на всех участках, отвечающих различным эллиптическим координатам происходит ровна одна перестройка корней многочлена  $V$ . Без этого предположения описать прообразы правильных особых точек в виде (почти) прямого произведения 2-атомов не получится.

**3.2 Биллиард внутри трехосного эллипсоида.** Без ограничения общности можем считать, что  $c > 0$ . Рассмотрим биллиард с потенциалом 9 внутри эллипсоида параметра 0. Мы будем предполагать, что  $p \neq 0$ . Случай  $p = 0$  был рассмотрен автором в работе [11].

Наибольший интерес и соответственно трудность представляет устройство слоения Лиувилля этой системы в окрестности слоев, отвечающих правильным особым точкам кратности 3. Пусть  $P$  – правильная особая точка кратности 3, тогда отвечающий ей многочлен  $W(z)$  имеет 4 вещественных корня с учетом кратности. Обозначим их  $\xi_1 \leq \xi_2 \leq \xi_3 \leq \xi_4$ .

**Теорема 5.** *Пусть  $P$  – правильная особая точка кратности 3 образа отображения момента для биллиарда внутри эллипсоида параметра 0. Следующая таблица полностью описывает топологию слоения Лиувилля этой системы вблизи слоя, отвечающего точке  $P$ .*

**Таблица 1.** Слоение Лиувилля вблизи слоев, отвечающих правильным особым точками кратности 3

Знак $p$	Корни $W(z)$	Слоение вблизи особенности
$p > 0$	$\xi_1 < \xi_2 = c < \xi_3 = b < \xi_4 = a$	$B \times C_2 \times C_2$ $\overline{\mathbb{Z}_2(\alpha) \times \mathbb{Z}_2(\beta)}$ , где $\alpha$ действует центральной симметрией на $B$ и вращательной на первом $C_2$ , а $\beta$ – дополнительной вращательной на первом $C_2$ и вращательной на втором

$p > 0$	$\xi_1 = c < \xi_2 < \xi_3 = b < \xi_4 = a$	$A \times \frac{B \times C_2}{\mathbb{Z}_2(\alpha)}$ , где $\alpha$ действует центральной симметрией на $B$ и вращательной на $C_2$
$p > 0$	$\xi_1 = c < \xi_2 = b < \xi_3 < \xi_4 = a$	$A \times A \times B$
$p > 0$	$\xi_1 = c < \xi_2 = b < \xi_3 = a < \xi_4$	$A \times A \times A$
$p > 0$	$\xi_1 = \xi_2 < \xi_3 = c < \xi_4 = b$	$2A \times A \times A$
$p > 0$	$\xi_1 = \xi_2 < \xi_3 = c < \xi_4 = a$	$A \times A \times C_2$
$p > 0$	$\xi_1 = \xi_2 < \xi_3 = b < \xi_4 = a$	$A \times \frac{C_2 \times C_2}{\mathbb{Z}_2(\alpha)}$ , где $\alpha$ действует вращательной симметрией на сомножителях
$p > 0$	$\xi_1 = c < \xi_2 = \xi_3 < \xi_4 = b$	$2A \times A \times A$
$p > 0$	$\xi_1 = c < \xi_2 = \xi_3 < b < \xi_4 = a$	$A \times A \times C_2$
$p > 0$	$\xi_1 = c < \xi_2 = b < \xi_3 = \xi_4 < a$	$2A \times A \times A$
$p < 0$	$\xi_1 < \xi_2 = c < \xi_3 = b < \xi_4 = a$	$A \times A \times A, 6A \times A \times \text{Cyl}^2$ , где $\text{Cyl}^2$ – кольцо, расслоенное концентрическими окружностями
$p < 0$	$\xi_1 = c < \xi_2 < \xi_3 = b < \xi_4 = a$	$A \times A \times B, 4A \times \frac{B \times S^1}{\mathbb{Z}_2(\alpha)} \times I$ , где $I$ – отрезок, расслоенный на точки, а инволюция $\alpha$ действует центральной симметрией на $B$ и $S^1$
$p < 0$	$\xi_1 = c < \xi_2 = b < \xi_3 < \xi_4 = a$	$2 \frac{B \times C_2 \times S^1}{\mathbb{Z}_2(\alpha) \times \mathbb{Z}_2(\beta)} \times I, A \times \frac{B \times C_2}{\mathbb{Z}_2(\alpha)}$ , где $I$ – отрезок, расслоенный на точки, $\alpha$ действует центральной симметрией на $B$ и вращательной $C_2$ , $\beta$ – дополнительной вращательной на $C_2$ и центральной на $S^1$
$p < 0$	$\xi_1 = c < \xi_2 = b < \xi_3 = a < \xi_4$	$\frac{B \times C_2 \times C_2}{\mathbb{Z}_2(\alpha) \times \mathbb{Z}_2(\beta)}$ , где $\alpha$ действует центральной симметрией на $B$ и вращательной первом $C_2$ , $\beta$ – дополнительной вращательной на первом $C_2$ и вращательной на втором

$p < 0$	$\xi_1 = \xi_2 < \xi_3 = c < \xi_4 = b$	$\frac{C_2 \times C_2 \times D_1}{\mathbb{Z}_2(\alpha) \times \mathbb{Z}_2(\beta)}$ , где $\alpha$ действует вращательными симметриями на атомах $C_2$ , $\beta$ — дополнительной вращательной на втором $C_2$ и центральной на $D_1$
$p < 0$	$\xi_1 = \xi_2 < \xi_3 = c < \xi_4 = a$	$A \times \frac{C_2 \times D_1}{\mathbb{Z}_2(\alpha)}$ , где $\alpha$ действует центральной симметрией на $D_1$ и вращательной $C_2$
$p < 0$	$\xi_1 = \xi_2 < c < \xi_3 = b < \xi_4 = a$	$A \times A \times D_1$
$p < 0$	$\xi_1 = c < \xi_2 = \xi_3 < \xi_4 = b$	$\frac{B \times C_4 \times C_2}{\mathbb{Z}_2(\alpha) \times \mathbb{Z}_2(\beta)}$ , где $\alpha$ действует центральной симметрией на $B$ и вращательной на $C_4$ , а $\beta$ — дополнительной вращательной на $C_4$ и вращательной на $C_2$
$p < 0$	$\xi_1 = c < \xi_2 = \xi_3 < b < \xi_4 = a$	$A \times \frac{B \times C_4}{\mathbb{Z}_2(\alpha)}$ , где $\alpha$ действует центральной симметрией на $B$ и вращательной на $C_4$
$p < 0$	$c < \xi_1 = \xi_2 < \xi_3 = b < \xi_4 = a$	$5 A \times A \times \text{Cyl}^2$ , где $\text{Cyl}^2$ — кольцо, расслоенное концентрическими окружностями
$p < 0$	$\xi_1 = c < \xi_2 = b < \xi_3 = \xi_4 < a$	$\frac{B \times C_2 \times C_4}{\mathbb{Z}_2(\alpha) \times \mathbb{Z}_2(\beta)}$ , где $\alpha$ действует центральной симметрией на $B$ и вращательной на $C_{42}$ , а $\beta$ — дополнительной вращательной на $C_2$ и вращательной на $C_4$
$p < 0$	$\xi_1 = c < \xi_2 = b < \xi_3 = \xi_4 < a$	$3 A \times \frac{B \times S^1}{\mathbb{Z}_2(\alpha)} \times I$ , где $I$ — отрезок, расслоенный на точки, а инволюция $\alpha$ действует центральной симметрией на $B$ и $S^1$
$p < 0$	$\xi_1 = b < \xi_2 = \xi_3 < \xi_4 = a$	$3 A \times A \times \text{Cyl}^2$ , где $\text{Cyl}^2$ — кольцо, расслоенное концентрическими окружностями

## Список литературы

- [1] *K. Якоби*, Лекции по динамике, ОНТИ, М.-Л., 1936, 272 с.
- [2] *Г. В. Белозеров*, “Топологическая классификация биллиардов в трехмерном евклидовом пространстве, ограниченных софокусными квадриками”, Матем. сб., **213**:2 (2022), 3–36.
- [3] *Г. В. Белозеров*, “Топология изоэнергетических 5-поверхностей трехмерного бильярда внутри трехосного эллипсоида с потенциалом Гука”, Вестник Московского университета. Серия 1. Математика, механика, 2022, 6, 21–31.
- [4] *И. С. Харчева*, “Изоэнергетические многообразия интегрируемых бильярдных книжек”, Вестн. Моск. ун-та. Сер. 1. Матем., мех., 4, 2020, 12 – 22.
- [5] *В. В. Козлов, Д. В. Трещев*, Генетическое введение в динамику систем с ударами, Москва, Изд-во МГУ, 1991.
- [6] *В. В. Козлов*, “Некоторые интегрируемые обобщения задачи Якоби о геодезических на эллипсоиде”, Прикладная математика и механика, **59**, 1, 1995.
- [7] *С. Е. Пустовойтов*, “Топологический анализ эллиптического бильярда в потенциальном поле четвертого порядка”, Вестн. Моск. ун-та. Сер. 1. Матем., мех., 2021, 5, 8 – 19.
- [8] *С. Е. Пустовойтов*, “Топологический анализ биллиарда, ограниченного софокусными квадриками, в потенциальном поле”, Матем. сб., **212**:2, 2021, 81 – 105.
- [9] *А. В. Болсинов, А. Т. Фоменко*, Интегрируемые гамильтоновы системы. Геометрия. Топология. Классификация. Тома 1 и 2 (Монография), Издательский дом “Удмуртский университет”, Ижевск, 1999.
- [10] *J. Milnor*, Morse theory, Princeton University Press, Princeton, New Jersey, 1963.
- [11] *G. V. Belozerov*, Non-degenerate Singularities of a Three-dimensional Billiard Bounded by an Ellipsoid in a Hooke Potential Field, LJM, 2025 (в печати).